

# 전단변형을 받는 비대칭 박벽 보-기둥 요소의 염밀한 동적강도행렬 Exact Dynamic Element Stiffness Matrices of Shear Deformable Nonsymmetric Thin-walled Beam-COLUMNS

윤희택\*  
Yoon, Hee-Taek

박영관\*  
Park, Young-Kon

김용기\*\*  
Kim, Yong-Ki

## ABSTRACT

Derivation procedures of exact dynamic stiffness matrices of thin-walled curved beams subjected to axial forces are rigorously presented for the spatial free vibration analysis. An exact dynamic stiffness matrix is established from governing equations for a uniform curved beam element with nonsymmetric thin-walled cross section. Firstly this numerical technique is accomplished via a generalized linear eigenvalue problem by introducing 14 displacement parameters and a system of linear algebraic equations with complex matrices. Thus, displacement functions of displacement parameters are exactly derived and finally exact stiffness matrices are determined using element force-displacement relationships. The natural frequencies of the nonsymmetric thin-walled curved beam are evaluated and compared with analytical solutions or results by ABAQUS's shell elements in order to demonstrate the validity of this study.

## 1. 서론

본 연구에서는 전단변형을 고려한 비대칭 박벽 보-기둥 요소의 동적해석을 위하여 경계조건의 제약을 받지 않으며, 염밀한 해를 얻을 수 있는 일관된 유탄요소 정식화 기법을 제안한다. 변분법을 이용하여 도심에서 변위장을 정의한 비대칭 박벽보의 콩포텐셜에너지로부터 운동방정식과 임-변위 관계식을 유도한다. 이 지폐방정식은 고파의 연립미분방정식이므로 14개의 변위 파라미터를 도입하여 1차 연립미분방정식으로 변환시킨다. 이제 미분방정식에 대응하는 선형 고유치 문제를 풀어서 염밀한 저점합수를 얻는다. 마지막으로, 임-변위 관계식을 적용하므로써 염밀한 동적  $14 \times 14$  요소강도행렬을 유도한다. 행렬합수를 도입하여 요소의 강도행렬을 산정하는 기준의 유탄요소법과 비교할 때, 이러한 요소 강도행렬은 해석해로서 요소의 수와 계산시간을 대폭 줄일 수 있으며, 다양한 하중과 경계조건에 대한 염밀해를 구할 수 있다는 장점이 있다. 본 연구에서 개발한 수치해석 기법의 타당성을 검증하기 위하여 비대칭 단면을 가지는 단순지지, 엔필레버 박벽보 구조에 대한 고유진동수를 산정하고, 해석해, 혹은 ABAQUS 웨이요소6)를 사용한 유탄요소법의 결과와 비교한다.

\* 한국 철도기술연구원, 선임연구원, 경희원

\*\* 한국 철도기술연구원, 해석연구원, 경희원

## 2. 비대칭 박벽보의 운동방정식과 힘-변위 관계식

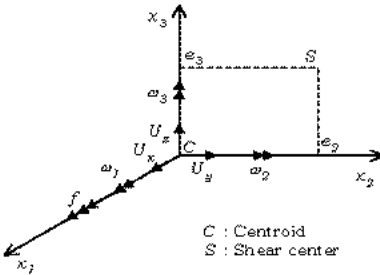


그림 1. Displacement parameters for a thin-walled cross-section

그림 1은 도심에서 정의한 7개의 변위파라미터를 나타낸다. 천단변형효과를 고려하는 비대칭 단면을 갖는 박벽보의 총포텐셜에너지<sup>7)</sup>에 대하여  $U_x, U_y, U_z$ 와  $\theta$ 로 변분을 취하면 아래와 같이 7개의 비대칭 박벽보에 대한 운동방정식과 힘-변위 관계식을 얻을 수 있다.

$$EAU_x'' + ES_2\omega_2'' - ES_3\omega_3'' + \rho\omega^2(AU_x + S_2\omega_2 - S_3\omega_3) = 0 \quad (1a)$$

$$GA_2(U_y'' - \omega_3') + GA_{23}(U_z'' + \omega_2') + GA_{2r}(\omega_1'' + f') + {}^0F_1U_x'' - {}^0M_2\omega_1'' + \rho\omega^2(AU_y - S_2\omega_1) = 0 \quad (1b)$$

$$EI_3\omega_3'' - ES_3U_x'' - EI_{23}\omega_2'' - EI_{3\Phi}f'' + GA_2(U_y' - \omega_3) + GA_{23}(U_z' + \omega_2) + GA_{2r}(\omega_1' + f) + \rho\omega^2(I_3\omega_3 - S_3U_x - I_{23}\omega_2 - I_{3\Phi}f) = 0 \quad (1c)$$

$$GA_3(U_z'' + \omega_2') + GA_{23}(U_y'' - \omega_3') + GA_{3r}(\omega_1'' + f') + {}^0F_1U_z'' - {}^0M_3\omega_1'' + \rho\omega^2(AU_z + S_3\omega_1) = 0 \quad (1d)$$

$$EI_2\omega_2'' + ES_2U_x'' - EI_{23}\omega_3'' + EI_{2\Phi}f'' - GA_3(U_z' + \omega_2) - GA_{23}(U_y' - \omega_3) - GA_{3r}(\omega_1' + f) + \rho\omega^2(I_2\omega_2 + S_2U_x - I_{23}\omega_3 + I_{2\Phi}f) = 0 \quad (1e)$$

$$GJ\omega_1'' + GA_r(\omega_1'' + f') + GA_{2r}(U_y'' - \omega_3') + GA_{3r}(U_z'' + \omega_2') - {}^0M_2U_y'' - {}^0M_3U_z'' + {}^0M_p\omega_1'' + \rho\omega^2(I_p\omega_1 + S_3U_z - S_2U_y) = 0 \quad (1f)$$

$$EI_\Phi f'' + EI_{2\Phi}\omega_2'' - EI_{3\Phi}\omega_3'' - GA_r(\omega_1' + f) - GA_{2r}(U_y' - \omega_3) - GA_{3r}(U_z' + \omega_2) + \rho\omega^2(I_\Phi f + I_{2\Phi}\omega_2 - I_{3\Phi}\omega_3) = 0 \quad (1g)$$

그리고,

$$F_1 = EAU_x' + ES_2\omega_2' - ES_3\omega_3' \quad (2a)$$

$$F_2 = GA_2(U_y' - \omega_3) + GA_{23}(U_z' + \omega_2) + GA_{2r}(\omega_1' + f) + {}^0F_1U_y' - {}^0M_2\omega_1' \quad (2b)$$

$$M_3 = EI_3\omega_3' - ES_3U_x' - EI_{23}\omega_2' - EI_{3\Phi}f' + 0.5{}^0M_2\omega_1 \quad (2c)$$

$$F_3 = GA_3(U_z' + \omega_2) + GA_{23}(U_y' - \omega_3) + GA_{3r}(\omega_1' + f) + {}^0F_1U_z' - {}^0M_3\omega_1' \quad (2d)$$

$$B = \begin{bmatrix} b_1 & b_2 & & -b_3 & & & & & & & & & & & \\ b_2 & & & & & & & & & & & & & & \\ & & b_3 & & & & & & & & & & & & \\ & & & b_4 & & & & & & & & & & & \\ & & & & b_5 & & & & & & & & & & \\ & & & & & b_6 & b_7 & & & & & & & & \\ & & & & & & b_8 & & & & & & & & \\ & & & & & & & b_9 & & & & & & & \\ & & & & & & & & b_{10} & -b_{11} & & & & & \\ & & & & & & & & & b_{11} & & & & & \\ & & & & & & & & & & b_{12} & & & & \\ & & & & & & & & & & & b_{13} & & & \\ & & & & & & & & & & & & b_{14} & & & \\ & & & & & & & & & & & & & b_{15} & & \\ & & & & & & & & & & & & & & b_{16} & & \\ & & & & & & & & & & & & & & & b_{17} \\ & & & & & & & & & & & & & & & & b_{18} \\ & & & & & & & & & & & & & & & & & b_{19} \\ & & & & & & & & & & & & & & & & & & b_{20} \end{bmatrix} \quad (6)$$

$$\begin{aligned} b_1 &= 1.0, \quad b_2 = \rho\omega^2 A, \quad b_3 = \rho\omega^2 S_3, \quad b_4 = \rho\omega^2 S_2, \quad b_5 = GA_2, \quad b_6 = GA_{23}, \quad b_7 = GA_{2r} \\ b_8 &= -GA_2 + \rho\omega^2 I_3, \quad b_9 = GA_{23} - \rho\omega^2 I_{23}, \quad b_{10} = GA_{2r} - \rho\omega^2 I_{30}, \quad b_{11} = GA_3, \quad b_{12} = GA_{3r} \\ b_{13} &= -GA_3 + \rho\omega^2 I_2, \quad b_{14} = -GA_{3r} + \rho\omega^2 I_{20}, \quad b_{15} = \rho\omega^2 I_9, \quad b_{16} = GA_r, \quad b_{17} = -GA_r + \rho\omega^2 I_{\Phi} \end{aligned}$$

식 (4)의 일반해를 구하기 위하여 다음과 같은 비대칭 행렬에 대한 일반적인 고유치문제를 생각한다.

$$\lambda \mathbf{A} \mathbf{Z} = \mathbf{B} \mathbf{Z} \quad (7)$$

본 연구에서는 IMSL subroutine DGVCRG 를 적용하여 식 (7)의 해를 구하며, 복소수 영역에서 14개의 고유치 및 고유벡터를 얻을 수 있다. 식 (4)의 일반해는 고유치에서 결과를 이용하여 복소 지수합수의 일차결합(linear combination)으로 표시할 수 있다.

$$\mathbf{d}(\mathbf{x}) = \sum_{i=1}^{14} a_i \mathbf{Z}_i e^{\lambda_i x} = \mathbf{X}(\mathbf{x}) \mathbf{a} \quad (8)$$

여기서  $\mathbf{X}(\mathbf{x})$  와  $\mathbf{a}$  는 각각 14개의 고유치 해는 이용하여  $x$ 에 관한 복소 지수합수로 이루어진  $14 \times 14$  행렬 함수 및 직분상수벡터를 나타낸다.

$$\begin{aligned} \mathbf{X}(\mathbf{x}) &= [ Z_1 e^{\lambda_1 x}; Z_2 e^{\lambda_2 x}; Z_3 e^{\lambda_3 x}; Z_4 e^{\lambda_4 x}; Z_5 e^{\lambda_5 x}; Z_6 e^{\lambda_6 x}; Z_7 e^{\lambda_7 x}; \\ &\quad Z_8 e^{\lambda_8 x}; Z_9 e^{\lambda_9 x}; Z_{10} e^{\lambda_{10} x}; Z_{11} e^{\lambda_{11} x}; Z_{12} e^{\lambda_{12} x}; Z_{13} e^{\lambda_{13} x}; Z_{14} e^{\lambda_{14} x} ] \end{aligned} \quad (9a)$$

$$\mathbf{a} = (a_1, a_2, a_3, a_4, a_5, a_6, a_7, a_8, a_9, a_{10}, a_{11}, a_{12}, a_{13}, a_{14})^T \quad (9b)$$

다음으로 부제양단의 좌표( $x = 0, 1$ )를 식 (8)에 대입하여 정리하면 절절변위벡터  $\mathbf{U}_e$  는 직분상수벡터  $\mathbf{a}$  로 나타낼 수 있다.

$$\mathbf{U}_e = E \mathbf{a} \quad (10a)$$

$$\mathbf{a} = E^{-1} \mathbf{U}_e \quad (10b)$$

여기서  $E$ 의 각 요소는  $X(x)$ 로부터 부재양단의  $x$  좌표를 대입하여 쉽게 구할 수 있으며, 복소수 행렬의 역행렬은 IMSL subroutine DLINCG를 이용하여 구한다. 식 (10b)를 식 (8)에 대입하여 복소계수  $a$ 를 소거하면, 최종적으로 14개의 변위성분으로 구성되는 엄밀한 변위벡터를 얻을 수 있다.

$$d(x) = X(x) E^{-1} U_e \quad (11)$$

### 3.2 동적 요소강도행렬의 산정

힘-변위 관계식 (2)에 식 (3)과 같은 14개의 변위 파라미터를 도입하여 정리하면 다음과 같이 행렬식으로 표현할 수가 있다.

$$f(x) = S d(x) \quad (12)$$

여기서  $f = \langle F_1, F_2, M_3, F_3, M_2, M_1, M_\phi \rangle^T$  이고,  $7 \times 14$  행렬인  $S$ 의 각 요소는 다음과 같다.

$$S = \begin{bmatrix} s_1 & & & s_2 & & & s_3 & & & & & & & s_7 \\ & s_4 & s_5 & & & s_6 & s_8 & & & & & & & s_{11} \\ s_2 & & & s_8 & & & s_9 & s_{10} & & & & & & s_{12} \\ & s_6 & -s_6 & & & s_{12} & s_{13} & & & & & & & s_{18} \\ s_9 & & & s_9 & & & s_{16} & s_{17} & & & & & & s_{18} \\ & s_7 & s_{19} & & & s_{14} & s_{20} & & & & & & & s_{23} \\ & & s_{11} & & & & s_{18} & & & & & & & s_{23} \end{bmatrix} \quad (13)$$

$$\begin{aligned} s_1 &= EA, \quad s_2 = -ES_3, \quad s_3 = ES_2, \quad s_4 = GA_2 + {}^0F_1, \quad s_5 = -GA_2, \quad s_6 = GA_{23} \\ s_7 &= GA_{2r}, \quad s_8 = {}^0M_2, \quad s_9 = EI_3, \quad s_{10} = -EI_{23}, \quad s_{11} = 0.5 {}^0M_2, \quad s_{12} = -EI_{3\phi} \\ s_{12} &= GA_3 + {}^0F_1, \quad s_{13} = GA_3, \quad s_{14} = GA_{3r} - {}^0M_3, \quad s_{15} = GA_{3r}, \quad s_{16} = EI_2 \\ s_{17} &= -0.5 {}^0M_3, \quad s_{18} = EI_{2\phi}, \quad s_{19} = -GA_{2r} + 0.5 {}^0M_2, \quad s_{20} = GA_{3r} - 0.5 {}^0M_3 \\ s_{21} &= GJ + GA_r + {}^0M_p, \quad s_{22} = GA_r, \quad s_{23} = EI_\phi \end{aligned}$$

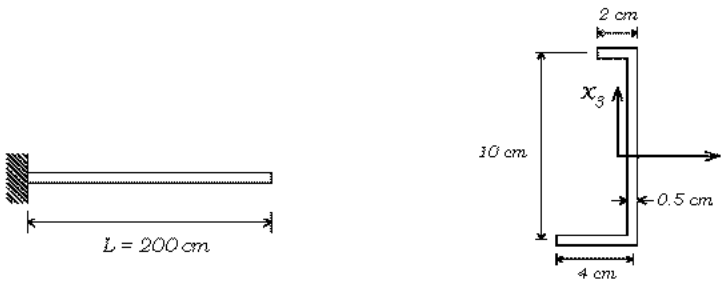
요소의 절점변위를 나타내는 식 (11)을 식 (12)에 대입하면, 다음과 같이 임의의  $x$ 에서 박백보 요소에 대한 단면력과 변위파라미터 관계식을 구할 수 있다.

$$f(x) = S X(x) E^{-1} U_e \quad (14)$$

한편 부재양단의 절점력벡터는 다음과 같이 정의한다.

$$F^a = \langle F_1^a, F_2^a, M_3^a, F_3^a, M_2^a, M_1^a, M_\phi^a \rangle^T, \quad a = p, q \quad (15)$$

이제 식 (15)를 이용하여 부재 양단( $x = 0, l$ )의 부재력을 구한후 정리하면 박백 직선보의 엄밀한 동적 요소강도행렬  $K(a)$ 는 다음과 같이 구할 수 있다.



(a) Cantilever beam under an axial load      (b) Nonsymmetric channel section  
그림 2. Cantilever beam with nonsymmetric channel section

$$E = 30000.0 \text{ N/cm}^2, G = 11500.0 \text{ N/cm}^2, A = 8.0 \text{ cm}^2, J = 0.6667 \text{ cm}^4, L = 200 \text{ cm}$$

$$I_2 = 114.872 \text{ cm}^4, I_3 = 7.54463 \text{ cm}^4, I_\phi = 408.333 \text{ cm}^4, I_{2\phi} = 182.413 \text{ cm}^4, I_{3\phi} = 18.9757 \text{ cm}^4$$

$$\rho = 0.00785 \text{ kg/cm}^3, \beta_1 = 15.3021 \text{ cm}^2, \beta_2 = 0.57706 \text{ cm}, \beta_3 = 5.93192 \text{ cm}$$

$$f_s = 5.28221, f_e = 1.79271, C_r = 0.01766$$

표 2. Flexural-torsional natural frequencies for the cantilever beam [ (radian/sec)<sup>2</sup> ]

mode	Present Study		ABAQUS
	With shear deformation	Without shear deformation	
1	0.027	0.027	0.028
2	0.384	0.336	0.331
3	0.704	0.707	0.696
4	1.065	1.074	1.074
5	4.817	4.859	4.766
6	7.055	7.186	7.083
7	17.95	18.22	17.95
8	19.30	20.15	19.36
9	23.74	24.39	23.58
10	45.71	47.34	46.52

표 2는 비대칭 캔틸레버 박벽 보구조에 대하여 전단변형효과를 고려한 경우와 무시한 경우에 대하여 자유 진동해석을 수행하여 10개의 모드를 산정하였으며, 본 연구에 의한 결과와 9절점 감자적분이 적용된 600개의 ABAQUS 웨일로우(S9R5)를 사용한 유한요소 해석의 결과를 함께 제시하였다. 표에서도 볼 수 있듯이 고차모드로 갈수록 전단변형효과를 고려한 직선보 요소에 의한 해석결과가 이를 무시한 해석결과와 비교하여 ABAQUS의 결과에 보다 근접한 것을 알 수 있으며, 8번째 모드에서 전단변형효과를 무시한 직선보 요소와 비교하여 최대 4.2% 정도 차이가 나타나는 것을 볼 수 있다.

## 5. 결 론

- 1) 전단변형효과를 고려한 비대칭 단면을 가지는 직선 박벽보의 3차원 자유진동해석을 위한 업밀한 요소강도행렬을 산정하는 수치해석기법을 개발하였다.
- 2) 14개의 변위파라미터를 도입하여 고차의 연립미분방정식의 형태로 표현되는 비대칭 직선 박벽보 요소의 지배방정식을 1차 연립미분방정식 형태의 선형 고유치 문제로 전환하고, 재단력-변위 관계식을 이용하여

엄밀한 동적강도행렬을 유도하였다.

- 3) 요소강도행렬을 이용하여 단순자지 및 캔틸레버 보구조에 대한 고유진동수를 산정하고, 해석해 및 유한 요소해석의 결과와 비교하여 본 연구의 타당성을 검증하였다.

#### 참고문헌

1. Banerjee J.R.(1998), "Free vibration of axially loaded composite Timoshenko beams using the dynamic stiffness matrix method" , *Computers and Structures* Vol.69, pp.197-208.
2. Banerjee, J.R. and Williams(1996). F.W., "Exact dynamic stiffness matrix for composite Timoshenko beams with applications" , *Journal of Sound and Vibration* Vol.194, No.4, pp.573-585.
3. Leung, A.Y.T. and Zhou, W.E.(1995), "Dynamic stiffness analysis of non-uniform Timoshenko beams" , *Journal of Sound and Vibration* Vol.181, No.3, pp.447-456.
4. Leung, A.Y.T. and Zhou, W.E.(1995), "Dynamic stiffness analysis of axially loaded non-uniform Timoshenko columns" , *Computers and Structures* Vol.56, No.4, pp.577-588.
5. Eisenberger, M., Abramovich, H. and Shulepov, O.(1995), "Dynamic stiffness analysis of laminated beams using a first order shear deformation theory" , *Composite Structures* Vol.31, pp.265-271.
6. ABAQUS User's Manual Vol. I and Vol. II, Ver. 5.2, Hibbit, Karlsson & Sorensen, Inc. 1992.
7. 김윤영, 김성보(1998), "전단변형 및 회전관성효과를 고려한 박벽 공간뼈대구조의 자유진동 및 안정성해석을 위한 일반이론" , 전산구조공학회 논문집, 제11권 제2호, pp.251-262.
8. Connor, J.J.(1976), *Analysis of structural members systems*, Ranald Press Company, New York.